

Fig. 9

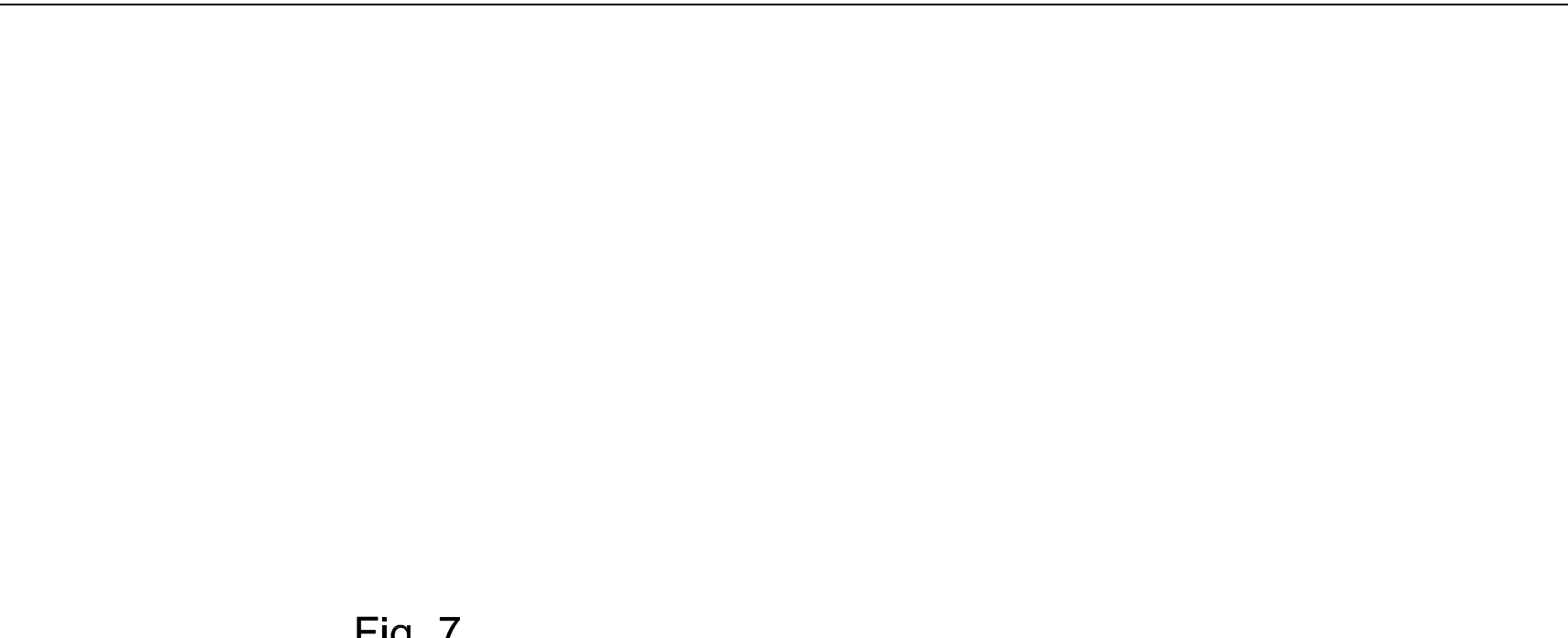


Fig. 7

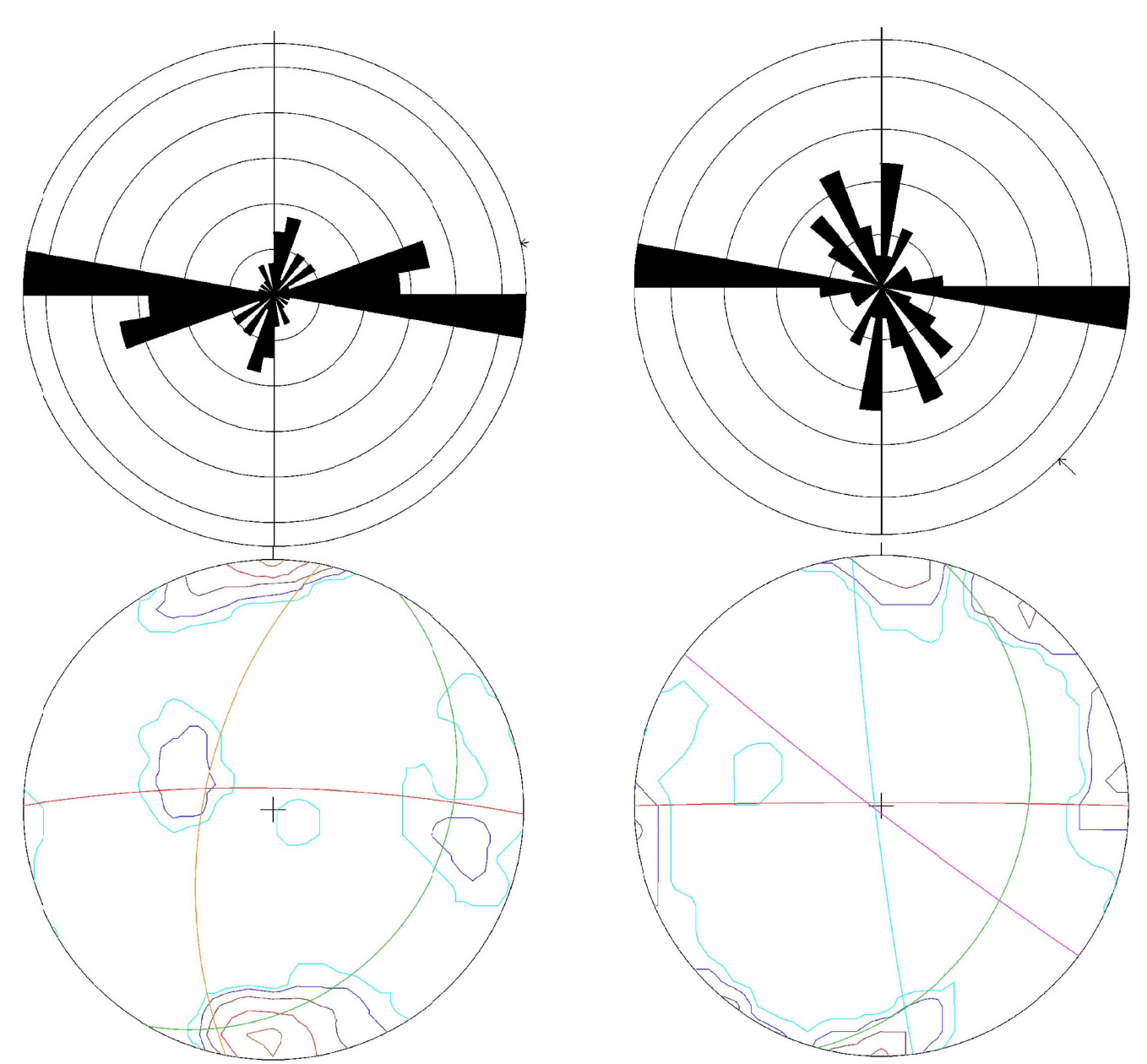


Fig. 4

Fig. 6



Fig. 2



Fig. 5

Fig. 8

Fig. 1
sopra
Rose diagram della distribuzione di frequenza di tutte le discontinuità misurate presso la stazione n. 1, per discontinuità a pari orientazione (strike) ed intervalli pari a 10°. Frequenza massima: 24,1%
sotto
Contour plot delle aree di isofrequenza dei poli di tutte le discontinuità principali misurate presso la stazione n. 1. In blu la ciclografica del set n.1, in rosso quella del set n.2, in giallo quella del set n.3. La ciclografica in verde fitta la giacitura media di strato. N. dati: 58; intervalli di frequenza: 2, 4, 8, 16%; frequenza massima: 32,76%.

Fig. 2
Panoramica della stazione n. 1, con rappresentazione schematica delle tracce delle discontinuità principali. I colori sono relativi ai set individuali (come da ciclografiche fig. 1).

Fig. 3
a sinistra
Rose diagram della distribuzione cumulativa di frequenza di tutte le discontinuità misurate nelle tre stazioni di misura, per discontinuità a pari orientazione (strike) ed intervalli pari a 10°. Frequenza massima: 19,3%
a destra
Contour plot delle aree di isofrequenza dei poli di tutte le discontinuità principali misurate. In blu la ciclografica del set n. 1, in rosso quella del set n.2, in giallo quella del set n.4, in arancio il set n. 4, in viola in n. 5, in celeste il n. 6. La ciclografica in verde fitta la giacitura media di strato. N. dati: 58; intervalli di frequenza: 1, 2, 4, 8, 16, 32%; frequenza massima: 33,33%.

Fig. 4
sopra
Rose diagram della distribuzione di frequenza di tutte le discontinuità misurate presso la stazione n. 2, per discontinuità a pari orientazione (strike) ed intervalli pari a 10°. Frequenza massima: 27,6%
sotto
Contour plot delle aree di isofrequenza dei poli di tutte le discontinuità principali misurate presso la stazione n. 2. In rosso la ciclografica del set n.2, in arancio quella del set n.4. La ciclografica in verde fitta la giacitura media di strato. N. dati: 58; intervalli di frequenza: 2, 4, 8, 16, 32%; frequenza massima: 41,38%.

Fig. 5
Panoramica della stazione n. 2, con rappresentazione schematica delle tracce delle discontinuità principali. I colori sono relativi ai set individuali (come da ciclografiche fig. 6).

Fig. 6
sopra
Rose diagram della distribuzione di frequenza di tutte le discontinuità misurate presso la stazione n. 3, per discontinuità a pari orientazione (strike) ed intervalli pari a 10°. Frequenza massima: 23,5%
sotto
Contour plot delle aree di isofrequenza dei poli di tutte le discontinuità principali misurate presso la stazione n. 3. In rosso la ciclografica del set n.2, in viola quella del set n.5, in celeste del n. 6. La ciclografica in verde fitta la giacitura media di strato. N. dati: 34; intervalli di frequenza: 3, 6, 8, 12, 24%; frequenza massima: 29,41%.

Fig. 7
Panoramica della stazione n. 3, con rappresentazione schematica delle tracce delle discontinuità principali. I colori sono relativi ai set individuali (come da ciclografiche fig. 8).

Fig. 8
Panoramica di Cozzo Garlati

Fig. 9
Panoramica di Cozzo Garlati

ANAS S.p.A.
DIREZIONE CENTRALE PROGRAMMAZIONE PROGETTAZIONE

PA 12/09
CORRIDOIO PLURIMODALE TIRRENICO - NORD EUROPA
ITINERARIO AGRIGENTO - CALTANISSETTA - A19
S.S. N° 640 "DI PORTO EMPEDOCLE"
AMMODERNAMENTO E ADEGUAMENTO ALLA CAT. B DEL D.M. 5.11.2001
Dal km 44+000 allo svincolo con l'A19

PROGETTO ESECUTIVO

Contraente Generale:

GEOLOGIA E IDROGEOLOGIA
GEOLOGIA

Carta Geologico-strutturale di dettaglio - Tav. 1

Codice Unico Progetto (CUP) : F91B0900070001

Codice Elaborato: PA12_09 - E 0 0 0 G E 2 0 8 G I 0 5 Z G 6 0 0 1 A

REV.	DATA	DESCRIZIONE	REDDATTO	VERIFICATO	APPROVATO	AUTORIZZATO
A	Aprile 2011	EMISSIONE	M. D'ANGELO	A. TURSO	M. LITI	P. PAGLINI

Responsabile del procedimento: Ing. MAURIZIO MAURIZIO

Il Progettista: